

## 電気回路網のダイナミクスについて

早大 理工 電気工学科 松本 隆

### §1. 序

電気回路網の歴史は Ohm [1] と Kirchhoff [2] にさかのばる事ができるといつのが通説である。前者は 1827 年、後者は 1845 年に書かれたから、工学の諸分野の中では比較的古い歴史を持った分野と言えよう。これらの pioneer 以後、多くの著しい進歩を見る事ができるが、ここでは省略する。スペースが限られてるし、筆者にそれを survey するだけの能力が無いからである。重要なのは Ohm から 1 世紀半を経て現在でも尚電気回路網は“現役”である事である。日本の研究者も重要な寄与をしている事にも注意すべきかも知れない。

他の工学の諸分野と同様、電気回路網の研究者も非線形の問題を “systematic” に論ずる事は苦手である。Brayton-Moser [3] はあるクラスの非線形回路網のダイナミクスが正弦シグマル函数（正確には混合ド・テニシタル函数と呼ばれて

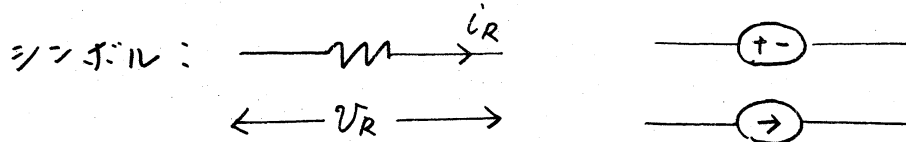
(3) を用いて記述できる事を示した。彼等の仕事で大切な  
点はその手法が幾何学的である事である。これをもとに  
Smale [4] は Brayton-Moser の考えた回路網のダイナミク  
スは(非自明な)多様体上のベクトル場としてとらえられる  
事を示した。本文の目的は[3], [4]を考えられたクラスの回  
路網よりもはるかに広いクラスの回路網が[4]の立場からと  
らえられる事を示し、いくつかの定性的な性質を調べる事に  
ある。電気回路網の立場から見ると、今までいまで用いら  
れてきた概念がすっきりし、見通しが良くなる。大域的議論  
の困難が減少する事がある等の利点がある。一方、dynamical  
systems の研究者に対しては比較的興味深い例を提供する事  
ができると思う。dynamical systems の研究者の殆んどが電気  
回路網に触れた事はないのは彼等がそれを知らないからだと言  
う单纯な理由による。

## 2 電気回路網

次の三種類の素子を勝手に繋ぎ合せたものを電気回路網と  
呼ぶ。(i)抵抗(resistor) (ii)キャパシタ(capacitor) (iii)インダクタ(inductor) 各素子には電圧、電流と呼ばれる二つの物理量が対応し、各素子は電圧、電流の関係を何らかの形で規定する。抵抗、キャパシタ及びインダクタは各々次の様に電  
圧、電流の関係を定める。

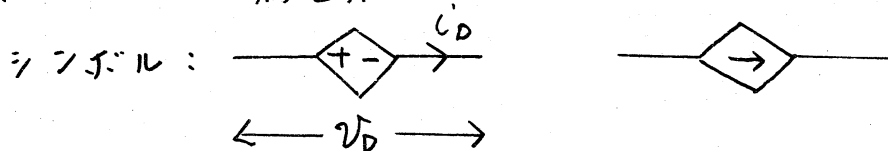
## (ii) 抵抗

## (a) 非結合抵抗



$(v_R, i_R) \in \Lambda_R$  : 1次元多様体

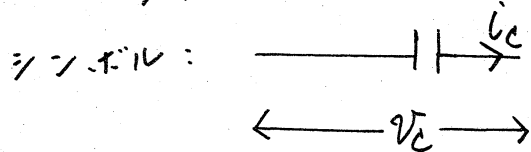
## (b) 結合抵抗(従属電源)



$(v_D, i_D, z) \in \Lambda_D$  : 適当な次元の多様体

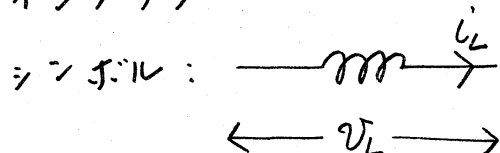
$z$  : 他の素子の電圧 and/or 電流

## (ii) キャパシタ



$$C(v_C) \frac{dv_C}{dt} = i_C, C(v_C) \text{ は滑らか函数}$$

## (iii) インダクタ



$$L(i_L) \frac{di_L}{dt} = v_L, L(i_L) \text{ は滑らか函数}$$

これらを組合せると例えば次の様な電気回路網ができます。

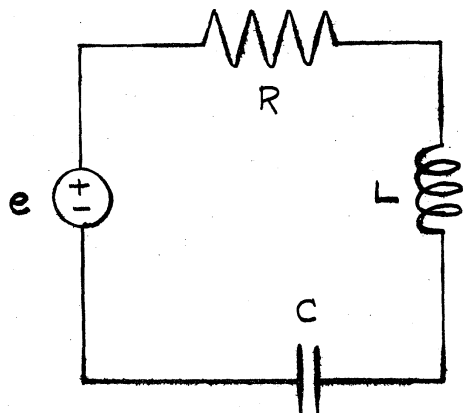


図1

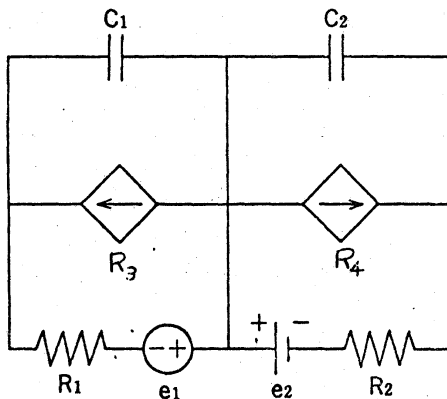


図2

図1の回路網は最も単純なものひとつである。図2はむしろ印象を受けるが、実はある種のトランジスタ回路である。上に述べた  $L_R$ ,  $L_D$ ,  $C(V_C)$  等は素子が与えられれば決定する。(前もって解っていろ) [3], [4]における定式化とニニズの定式化の本質的な相違は後者が従属電源の存在を許していゝ事にある。トランジスタ、真空管等の他のエレクトロニクス素子の大部分が従属電源を含む。実際電気回路網で最も重要な素子のひとつは従属電源である。

さて上の様に素子を繋ぎ合わせると新しく2種類の拘束が生じる。

- (i) Kirchhoff 電圧則 (KVL): ループを成す素子の電圧和は零。
- (ii) Kirchhoff 電流則 (KCL): ある点でいくつもの素子が共通に結合していゝとする。この時、結合していゝ素子の電流和は零。

電気回路網はこれで完全に記述される。以上の諸表をふまえ、次節で走式化を行なう。

### §3 ダイナミクス

$P$  個の抵抗、 $\gamma$  個のキャパシタとして  $\pi$  個のインダクタを含む電気回路網を考える。各素子には電圧及び電流が対応するが、ひつじで全ての素子の電圧及び電流をあらめ可事に可る。 $b = P + \gamma + \pi$  とすれば  $(v, i) \in IR^b \times IR^b$  である。

前節に述べた拘束は次の 3 種類に分けられる。

[拘束 1] 抵抗素子特性:  $(v, i) \in \Lambda \subset IR^b \times IR^b$ , 但し  $\Lambda$  は  $2b - P$  次元多様体。 (3.1)

(注) 以後多様体は適当に滑らかなものと考える。この走式化は極めて一般的である。例えば MOSFET [5] 等も考慮可る事がある。

次に、各素子をひとつずつ branch と考えると自然に線形グラフが定義される。このグラフに對してひとつ tree を選び  $B$  及び  $Q$  を各々基本ルート行列及び基本カットセット行列とする [6]。

[拘束 2] Kirchhoff の法則:  $(v, i) \in K \subset IR^b \times IR^b$ , 但し  $K = \text{Ker } B \times \text{Ker } Q$ .

$K$  を Kirchhoff space と呼ぶ事は恐らく的外れでは無い

であろう。

最後の拘束を記述する為、電圧及び電流を各々次の様に分割する：

$$\mathbf{v} = (V_R, V_C, V_L), \quad \mathbf{i} = (i_R, i_C, i_L)$$

但し  $R$ ,  $C$  及び  $L$  は各々抵抗、キャパシタ及びインダクタに固有の変数である事を意味する。

[拘束 3. Maxwell の方程式] :

$$\sum_{n=1}^r C_{mn}(V_C) \frac{dV_{Cn}}{dt} = i_{Cm}, \quad m = 1, \dots, r \quad (3.3)$$

$$\sum_{n=1}^r L_{mn}(i_L) \frac{di_{Ln}}{dt} = V_{Lm}, \quad m = 1, \dots, r \quad (3.4)$$

但し  $V_{Cm}$  (resp.  $i_{Ln}$ ) は  $n$  番目のキャパシタ (resp. インダクタ) の電圧 (resp. 電流) である。行列  $(C_{mn}(V_C))$  及び  $(L_{mn}(i_L))$  は対称正値各々 incremental capacitance 行列及び incremental inductance 行列と言う。

(注) (3.3) 及び (3.4) は結合キャパシタ及び結合インダクタを許してゐる。

(3.1), (3.2) より電気回路網の state space は

$$\Sigma = \Lambda \cap K \quad (3.5)$$

である。Σ は部分多様体であって欲しいのを次の仮定を用いる。

[仮定 (A)]

(i)  $\Lambda \cap K$  は非空。

(ii)  $\Lambda$  と  $K$  は transversal

[A] 上の仮定をすると  $\Sigma$  は  $\gamma + \kappa$  次元部分多様体となる。

証明:  $\text{codim } \Sigma = \text{codim } \Lambda + \text{codim } K$

であるが

$$\dim K = b$$

は回路網で古くから知られた事実である [6]

$$\dim \Sigma = 2b - (b + p) = b - p = \gamma + \kappa$$

が従う。

(注) 電気工学者は transversality という言葉は知らないが、たゞ同様の条件に気付いていた。

(A)(i) が満足されない回路の例をあげるのは簡単である。図  
3 の素子  $e_1, e_2$  が

$$\left. \begin{array}{l} V_{e_1} = \text{const} \\ V_{e_2} = \text{const} \end{array} \right\} (\#)$$

$$V_{e_1} \neq V_{e_2}$$

とすると  $V_C = K_V L$  と (#) は

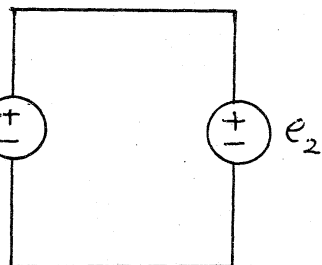


図 3

同時に満足されないのを  $\Sigma$  は空である。

ダイナミクスを記述する  $a = (V_C, i_L)$  を座標系にとる事  
である  $\rightarrow T = \mathbb{R}^2$ 。とすれば

$$\dim \Sigma = \gamma + \kappa = (V_C, i_L) の component の数$$

という理由による。

次の様な 1-form を考える。

$$\zeta = \sum_{n=1}^r i_{cn} dV_{cn} - \sum_{n=1}^s V_{Ln} di_{Ln} \quad (3-6)$$

$$\eta = \sum_{n=1}^p V_{Rn} di_{Rn} + d \left( \sum_{n=1}^r V_{cn} i_{cn} \right) \quad (3-7)$$

そして

$$i_1 : K \rightarrow \mathbb{R}^6 \times \mathbb{R}^6$$

を inclusion とする。

$$[B] \quad i_1^* \zeta = i_1^* \eta \quad (3-8)$$

証明:  $V_T, i_e$  を各々 tree branch の電圧及 link の電流とする。この時  $(V, i) \in K$  は次の様に書ける [6]

$$V = Q^T V_T, \quad i = B^T i_e$$

但し  $B, Q$  は (3-2) に出て来た行列,  $T$  は転置を意味する。

更に

$$B Q^T = 0 \quad (\text{零行列}) \quad (3-8)'$$

も知られた事実との [6] 結果が従う。

次の様な  $\mathbb{R}^r \times \mathbb{R}^s$  上の対称 2-tensor (Riemannian とは  $i_e$ ) を考える:

$$G = \sum_{m,n=1}^r C_{mn} (V_c) dV_{cm} \otimes dV_{cn} - \sum_{m,n=1}^s L_{mn} (i_e) di_{cm} \otimes di_{Ln} \quad (3-9)$$

$G$  と  $\eta$  を  $\Sigma$  に引ま戻すと ダイナミクスが記述できる。

$$\gamma_2 : \Sigma \rightarrow K$$

を inclusion

$$\pi' : \mathbb{R}^b \times \mathbb{R}^b \rightarrow \mathbb{R}^r \times \mathbb{R}^r$$

と

$$\pi'(v, i) = (v_c, i_c)$$

で定義される。更に  $\gamma = \gamma_1 \circ \gamma_2$ ,  $\pi = \pi' \circ \gamma$ ,

$$\omega = \gamma^* \omega \quad (3-10)$$

と置く。

[結果1] 仮定(A)が満足されているとする。又  $a \in \Sigma$  で、  
平行ベクトル場  $X_a$  は次式で与えられる。

$$\pi^* G_a(X_a, \xi) = \omega_a(\xi), \quad \xi \in T_a(\Sigma) \quad (3-11)$$

証明:  $\Sigma \subset K$  であるから, [B] と Maxwell の方程式(3-3), (3-4)

より

$$\begin{aligned} \pi^* \left( \sum_{m,n=1}^r C_{mn}(v_c) \frac{dV_{cm}}{dt} dV_{cn} - \sum_{m,n=1}^r L_{mn}(i_c) \frac{di_{cm}}{dt} di_{cn} \right) \\ = \gamma^* \left( \sum_{n=1}^p V_{Rn} di_{Rn} + d \left( \sum_{n=1}^r V_{Cn} i_{Cn} \right) \right) = \omega \end{aligned}$$

を得る。これは(3-11)式のものである。

[例1] 図1の回路網を考元る。抵抗率と持性は次の様に  
与えられるとする。

$$V_R - f(i_R) = 0$$

$$V_C = \text{const.}$$

明らかに  $\Lambda$  は  $2b - p = 6$  次元多様

体となる。キルヒホフの法則は

$$V_R + V_L + V_C - V_E = 0$$

$$i_R = i_L = i_C = -i_E$$

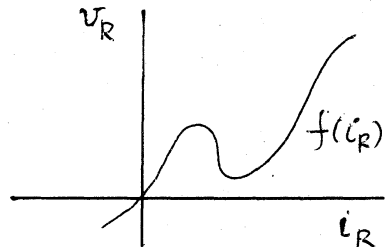


図4

と書ける。transversality は満たされていきるので  $\Sigma$  は  $\oplus$   $\Lambda = 2$  次元多様体である。 $(V_C, i_C)$  が  $\Sigma$  の大域座標に当る事はすぐにわかる。この座標に関してダイナミクスは

$$C \frac{dV_C}{dt} = i_C$$

$$L \frac{di_C}{dt} = -f(i_C) - V_C + V_E$$

と書ける。

[例2] 図2は pnpトランジスタを含む回路の Ebers-Möller モデル [7] である。抵抗素子特性は次式で与えられる。

$$\left. \begin{aligned} V_{R_1} - R_1 i_{R_1} &= 0 & V_{R_2} - R_2 i_{R_2} &= 0 \\ i_{R_3} + \alpha i_{R_4} - I_{E_0} (e^{\frac{V_{R_3}}{V_T}} - 1) &= 0 \\ \beta i_{R_3} + i_{R_4} - I_{C_0} (e^{\frac{V_{R_4}}{V_T}} - 1) &= 0 \\ V_{E_1} = \text{const}, \quad V_{E_2} = \text{const} \end{aligned} \right\} (3-12)$$

但し  $L, R_1, R_2, \alpha, \beta, I_{E_0}, I_{C_0}$ , 及びてでは正数の素子が与えられれば決定される。しかし、どの様なトランジスタであっても

$$0 < \alpha, \beta < 1$$

は成立する。従って

$$\det \frac{\partial}{\partial(i_{R_3}, i_{R_4})} \begin{bmatrix} i_{R_3} + \alpha i_{R_4} - I_{e_0} (e^{\tau \frac{V_{R_3}}{R_3}} - 1) \\ \beta i_{R_3} + i_{R_4} - I_{e_0} (e^{\tau \frac{V_{R_4}}{R_4}} - 1) \end{bmatrix} = 1 - \alpha \beta > 0$$

であるから (3-12) の  $2b - p = 16 - 6 = 10$  次元多様体  $\Sigma$  を定義する。KVL 及び KCL は次の様に書ける。

$$V_{C_1} = V_{R_3} = -V_{R_1} - V_{e_1}, \quad V_{C_2} = V_{R_4} = -V_{R_2} - V_{e_2}$$

$$i_{C_1} + i_{R_3} - i_{R_1} = 0, \quad i_{C_2} + i_{R_4} - i_{R_2} = 0$$

$\Sigma$  と  $K$  の transversal である事を示すのは容易である。従って  $\Sigma$  は  $\Gamma = 2$  次元多様体となる。簡単の為キャパシタは線形非結合とする：

$$C_1 \frac{dV_{C_1}}{dt} = i_{C_1}, \quad C_2 \frac{dV_{C_2}}{dt} = i_{C_2}$$

この例では  $(V_{C_1}, V_{C_2})$  が  $\Sigma$  の大域座標となる。この座標に関する (3-1.1) 右辺は

$$\omega = \left( -\frac{V_{C_1}}{R_1} - \frac{I_{e_0} (e^{\tau \frac{V_{C_1}}{R_1}} - 1) - \alpha I_{e_0} (e^{\tau \frac{V_{C_2}}{R_2}} - 1)}{1 - \alpha \beta} - \frac{V_{e_1}}{R_1} \right) dV_{C_1}$$

$$+ \left( -\frac{V_{C_2}}{R_2} - \frac{-\beta I_{e_0} (e^{\tau \frac{V_{C_1}}{R_1}} - 1) + I_{e_0} (e^{\tau \frac{V_{C_2}}{R_2}} - 1)}{1 - \alpha \beta} - \frac{V_{e_2}}{R_2} \right) dV_{C_2}$$

となり、最終的には次式を得る。

$$C_1 \frac{dV_{C_1}}{dt} = -\frac{V_{C_1}}{R_1} - \frac{I_{e_0}(e^{\tau V_{C_1}} - 1) - \alpha I_{co}(e^{\tau V_{C_1}} - 1)}{1 - \alpha\beta} - \frac{V_{e_1}}{R_1}$$

$$C_2 \frac{dV_{C_2}}{dt} = -\frac{V_{C_2}}{R_2} - \frac{-\beta I_{e_0}(e^{\tau V_{C_1}} - 1) + I_{co}(e^{\tau V_{C_2}} - 1)}{1 - \alpha\beta} - \frac{V_{e_2}}{R_2}$$

#### § 4 相反性

電気回路網の分野では相反性 (reciprocity) と呼ばれる性質である。今まで与えられてきた定義は多少とも ad hoc の所があるのを、ここでは明確な定義を与える。実は相反性は回路網のダイナミクスが  $\Pi^* G$  に関する gradient 系に沿うる必要十分条件なのである。 $\Pi^* G$  はキャラクタリゼーションから極めて自然に定義されることは事に注意すべきである。

[定義] 仮定 (A) が満たされているとする。

$$\mathcal{L}^* \left( \sum_{n=1}^p dV_{R_n} \wedge d i_{R_n} \right) = 0 \quad (4-1)$$

を満足する回路網を相反回路網と呼ぶ。

抵抗素子特性が

$$V_R = F(i_R) \quad (4-2)$$

で与えられてゐるとする。Jacobian  $\frac{\partial F}{\partial i_R}$  が任意の点で対称である回路網を相反回路網と呼ぶのが普通である。[8]. (4-1) はこれ的一般化である事を次に示す。 $(W, \psi)$  を  $\Sigma$  の chart とし。

$$\Pi_{VR} : \mathbb{R}^b \times \mathbb{R}^b \rightarrow \mathbb{R}^p$$

を

$$\pi_{V_R}(v, i) = v_R$$

と定義する。

$$v_R(x) = (\pi_{V_R} \circ \gamma \circ \psi^{-1})(x), \quad x \in \psi(W)$$

と書く。同様の記号を  $i_R$  も用いる。

[C] (4-1) が成立する事と各 chart  $(W, \psi)$  について次の式が成立する事は等価である。

$$\frac{\partial v_R}{\partial x}(x)^T \frac{\partial i_R}{\partial x}(x) = \frac{\partial i_R}{\partial x}(x)^T \frac{\partial v_R}{\partial x}(x), \quad x \in \psi(W) \quad (4-3)$$

$$\begin{aligned} \text{証明: } & \sum_{n=1}^p (\psi^{-1})^* \gamma^* (dV_{Rn} \wedge di_{Rn})_x \\ &= \sum_{n=1}^p \sum_{k < m} \left( \frac{\partial V_{Rn}}{\partial x_k}(x) \frac{\partial i_{Rn}}{\partial x_m}(x) - \frac{\partial i_{Rn}}{\partial x_m}(x) \frac{\partial V_{Rn}}{\partial x_k}(x) \right) dx_k \wedge dx_m. \end{aligned}$$

上の 2-形式が零に等しい事と次の行列が零に等しい事は等価である。

$$\frac{\partial v_R}{\partial x}(x)^T \frac{\partial i_R}{\partial x}(x) - \frac{\partial i_R}{\partial x}(x)^T \frac{\partial v_R}{\partial x}(x).$$

ここで (4-2) すなはち Jacobian が対称であれば

$$\frac{\partial F}{\partial i_R}(i_R)^T \frac{\partial i_R}{\partial i_R}(i_R) = \frac{\partial i_R}{\partial i_R}(i_R)^T \frac{\partial F}{\partial i_R}(i_R)$$

となり (4-3) を満足する。この様に (4-1) は Jacobian の対称性の一般化ではあるが大切なのは次の結果である。

[結果 2] 假定 (A) は満足されていようとし、 $\Sigma$  は单連結とする

3. 二の時次の3,4つの事実は等価である。

(i) 考えられる回路網に相反である。

(ii)  $\Sigma$ 上に滑らかな関数  $P$  があり、マダイナミクスは  $\pi^* G$  に  
関する  $P$  の gradient である。

$$\pi^* G_a(X_a, \xi) = dP_a(\xi), \xi \in T_a(\Sigma) \quad (4-4)$$

証明: (3-11) より  $w$  が closed となる条件を求めればよい。

$$\begin{aligned} dw &= d\varphi^*\eta = \varphi^* d\eta \\ &= \varphi^* \left( \sum_{n=1}^P dV_{R_n} \wedge dI_{R_n} + d^2 \left( \sum_{n=1}^P V_{C_n} I_{C_n} \right) \right) \\ &= \varphi^* \left( \sum_{n=1}^P dV_{R_n} \wedge dI_{R_n} \right) \end{aligned}$$

であるから結果が従う。

(注) 電気回路網では  $\Sigma$  が単連結であるという条件は十分一般性をもつ。

[3], [4] で考えられた回路網では自動的に  $P$  が存在する。その理由を次に述べる。

[口] 抵抗が非結合の場合を考える。

$$\Lambda = \{(v, i) \in \mathbb{R}^b \times \mathbb{R}^b \mid (V_{R_n}, I_{R_n}) \in \Lambda_{R_n}, n=1, \dots, P\}$$

但し  $\Lambda_{R_n}$  は 1 次元多様体である。二の時 (4-1) は自動的に成立する。

証明: 非結合時の  $\varphi$

$$\gamma^* \left( \sum_{n=1}^P dV_{R_n} \wedge d\lambda_{R_n} \right) = \sum_{n=1}^N \gamma^* (dV_{R_n} \wedge d\lambda_{R_n})$$

右辺の各2-形式は1次元多様体  $\lambda_{R_n}$  を走義としている。

Brayton-Moser [3] は上の様な  $P$  を mixed potential function と呼んだ。結果 2 は Brayton の結果 [9] を特殊な場合として含む。今迄得られた相反性に関する結果は全て十分条件である。上の結果の必要十分性は注意すべきではないかと思う。

さて  $\pi^* G$  が  $\Sigma$  上で Riemannian となる理由は (3-9) の 2 項の負号にある。従ってもしインタクタのない相反回路網であれば、ダイナミクスは Riemannian metric

$$\pi^* \left( \sum_{n,m=1}^r C_{mn}(V_c) dV_m dV_n \right)$$

に関する gradient となる。この事から電気工学者にとっては少々面白い帰結が得られる。

[E] インタクタのない相反回路網 ( $\Sigma$  は单連結) 発振器をつくる事は不可能である。キャパシタのない相反回路網についても同様の事が言える。

## § 5 エネルギー、パワー、受動性、安定性

他の多くの工学系や物理系と同様電気回路網においてもエネルギーは興味深い性質を備えている。ここではキャパシタとインタクタに蓄えられるエネルギーを用いて電気回路網の安定

性を調べる。その際電気回路網の分野で古くから知られてきた變動性といふ性質が本質的な役割を演じる。

$I_C$  を  $\mathbb{R}^r$  の原点とする直線を結ぶ滑らかな曲線とする。 $I_L$  を  $\mathbb{R}^r$  の原点と原点を結ぶ滑らかな曲線とする。この時次の値:

$$\begin{aligned} E_1(V_C, i_L) &= \int_{I_C}^{V_C} \sum_{n=1}^r \sum_{m=1}^r C_{mn}(V_C) V_{Cm}' dV_{Cn}' \\ &+ \int_{I_L}^{i_L} \sum_{n=1}^r \sum_{m=1}^r L_{mn}(i_L) i_{Lm}' di_{Ln} \quad (5-1) \end{aligned}$$

は  $I_C, I_L$  のとり方によらない。 $(C_{mn}(V_C)), (L_{mn}(i_L))$  は対称である。従って

$$E = \pi^* E_1$$

とかければ  $\sum$  上の滑らかな関数である。工学的考察から  $E$  はキルヒhoff 及びインダクタに蓄えられるエネルギーである。次

に

$$W_1 : \mathbb{R}^P \times \mathbb{R}^P \rightarrow \mathbb{R}$$

を

$$W_1(V_R, i_R) = \sum_{n=1}^P V_{Rn} i_{Rn}$$

と定義する。

$$\emptyset : \Sigma \rightarrow \mathbb{R}^P \times \mathbb{R}^P$$

を

$$\theta(\alpha) = (v_R, i_R)$$

で定義する。

$$W = \theta^* W_1$$

とおくと、工学的考察により  $W$  は抵抗素子のパワ (power) の和である。

[結果3] 仮定(A) は満足されているとして、考えてある回路網が生成する  $\Sigma$  上の flow を  $\alpha(t)$  とする。この時次式が成立する。

$$\frac{d E(\alpha(t))}{dt} = -W(\alpha(t)) \quad (5-3)$$

証明:  $\alpha(t)$  を  $\mathbb{R}^r \times \mathbb{R}^r \times \mathbb{R}^{\lambda} \times \mathbb{R}^{\lambda}$  に射影したものと  
 $(\bar{V}_C(t), \bar{i}_C(t), \bar{V}_L(t), \bar{i}_L(t))$  を書き Maxwell の方程式  
 $(3-3), (3-4)$  より次式を得る。

$$\begin{aligned} & \frac{d}{dt} \int_{P_C} \bar{V}_C(t) \sum_{n=1}^r \sum_{m=1}^r C_{mn}(\bar{V}_C') \bar{V}_{cm}' d\bar{V}_{cm}' \\ & + \frac{d}{dt} \int_{I_L} \bar{i}_L(t) \sum_{n=1}^r \sum_{m=1}^r L_{mn}(\bar{i}_L') \bar{i}_{cm}' d\bar{i}_{cm}' \\ & = \sum_{n=1}^r \sum_{m=1}^r \bar{V}_{cm}(t) C_{mn}(\bar{V}_C(t)) \frac{d\bar{V}_{cm}(t)}{dt} \\ & + \sum_{n=1}^r \sum_{m=1}^r \bar{i}_{cm}(t) L_{mn}(\bar{i}_L(t)) \frac{d\bar{i}_{cm}(t)}{dt} \end{aligned}$$

$$= \sum_{m=1}^{\gamma} V_{Cm}(t) i_{Cm}(t) + \sum_{m=1}^{\lambda} V_{Lm}(t) i_{Lm}(t) \quad (5-4)$$

(5-4) 最右辺はキャパシタ及びインダクタのパワーの和である。ところが(3-8)のK上では

$$\sum_{n=1}^P V_{Rn} i_{Rn} + \sum_{n=1}^{\gamma} V_{Cn} i_{Cn} + \sum_{n=1}^{\lambda} V_{Ln} i_{Ln} = 0 \quad (5-5)$$

が成立する。(Tellegen の定理) KつΣに注意すると(5-4)と(5-5)から(5-3)を得る。

(5-3) は工学的には次の事を述べている。キャパシタとインダクタに蓄えられるエネルギーの変化率は抵抗のパワーに負号を付けたものである。(5-3)から想いつくのはLyapunovの安定理論である。電気回路網は古くから知られていて受動性を用いて安定性を考える。

$$[定義] W(\alpha) \geq 0, \alpha \in \Sigma \quad (5-6)$$

を満たす電気回路網を受動(passive)回路網と言う。

例1のR自身は受動である(図4)がEを考慮に入れる就必须しも受動ではない。座標( $V_C, i_L$ )に関する

$$W = V_R i_R + V_C i_C = f(i_L) i_L + V_e (-i_L) \quad (5-7)$$

となり、 $V_e$ の値によっては  $W < 0$  も起り得るからである。

Eが存在しなければもちろん受動である。例2についても同様な事が言える。但し議論は少し複雑である。

次の事はすぐに解る。

[F] 各抵抗素子が受動であれば回路網も受動である。

[結果4] 仮定(A)は満たされていようとし、 $\alpha_0$  をダイナミクスの平衡点のひとつとする。 $\alpha_0$  の近傍  $U$  のみ、次の条件を満たすとする。

$$(1) \quad E(\alpha_0) = 0, \quad E(\alpha) > 0, \quad \alpha \in U - \{\alpha_0\}$$

(2)  $U$  上で回路網は受動、すなわち

$$W(\alpha) \geq 0, \quad \alpha \in U$$

この時  $\alpha_0$  は安定平衡点である。

[結果5] 上と同じ状況のもとで(2)を次の条件でおきかえたとする。

(2)'  $U - \{\alpha_0\}$  で回路網は狭義受動、すなわち

$$W(\alpha) > 0, \quad \alpha \in U - \{\alpha_0\}$$

この時  $\alpha_0$  は漸近安定平衡点である。

[例3] 図1の回路網で  $\alpha_0$  が存在せず、R が図4の素子特性をもつば、平衡点  $(V_C, i_L) = (0, 0)$  は漸近安定である。

(注)  $\alpha_0$  が  $E(\alpha_0) = 0$  を満足しない場合は少々工夫を要する。 $E(\alpha) - E(\alpha_0)$  は必ずしも正にならないからである。この場合、 $\alpha$  を  $(V_C, i_C, V_L, i_L)$  - 空間に射影したもの  $(V_{C0}, i_{C0}, V_{L0}, i_{L0})$  とし、(5-4)左辺の積分上限を各々  $V_C(t) - V_{C0}$  及び  $i_L(t) - i_{L0}$  とすればよく行く場合が多い。

## § 6 実質受動性と有界性

電気回路網の多くは  $[0, \infty)$  を有界である。これらの回路網に共通した性質を抽出してその理由を調べてみたい。(5-7)を見ると  $f$  に適当な条件をつける事により

$$\lim_{\|(v_e, i_e)\| \rightarrow \infty} W(v_e, i_e) > 0 \quad (6-7)$$

となる。これはある有界集合の外部では、パワーが正に下る事を意味する。パワーが正に下る所では (5-3) によりエネルギーは減少する。従ってエネルギーが適当な条件を満足すれば回路網は  $[0, \infty)$  を一様有界となる。受動性の定義 (5-6) を想起すると (6-7) は実質受動性とも呼ぶ事ができると思う。以下これを形式化し、有界性について検討する。

[定義]  $\Sigma$  のコンパクト集合  $\Omega$  がある

$$W(\alpha) \geq 0, \quad \alpha \in \Sigma - \Omega \quad (6-2)$$

が成立する時、考えている回路網を実質受動と呼ぶ。

[結果 5] 假定 (A) は満足されていふとする。もし

$$(1) \quad E(\alpha) \geq 0, \quad \alpha \in \Sigma.$$

$$(2) \quad E \text{ is proper すなはち, 任意の } \beta \geq 0 \text{ に対して} \\ \{\alpha \in \Sigma \mid E(\alpha) \leq \beta\} \text{ は有界}$$

(3) 考えていふ回路網は実質受動。

であればこの回路網は  $[0, \infty)$  を一様有界である。

証明: 回路網が生成する flow を  $\alpha(t)$  とする。  $\alpha(t)$  がコン

ハクト集合  $\Sigma$  に属していない時はエネルギーが減少していくから結局エネルギーは  $[0, \infty)$  で一様有界である。条件(2)よりエネルギーは proper であるから  $\alpha(t)$  も  $[0, \infty)$  で一様有界である。

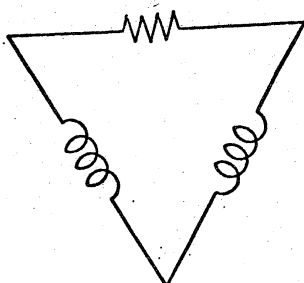
(6-2) 不定義した実質受動性は極めて広いクラスの回路網が共有可能性質である。例えは図1, 図2 の回路網は実質受動である。

[G] 各抵抗素子が実質受動であれば回路網も実質受動である。

## §7. その他

(3-11)に現れる  $\pi^* G$  が  $\Sigma$  上の任意の点で singular となる事がある。例えは図4 の回路網は抵抗素子特性がどの様なものであっても  $\pi^* G$  が  $\Sigma$  上の任意の点で singular とする。この様な状況は forced degeneracy [4] と呼ばれている。この困難はある方法によつて解決可能であるが長くかかるので省略する。

図4



今迄述べた事及び関連する問題は [10]-[16] で議論されている。最後に電気工学者として私が知りたい諸事実をあげ

3.

[4]の最後にもいくつもの問題が述べられてゐる。半分は面白いもので、もう半分は私は興味を持てない。

1. 仮定(A)(ii)が満足されない場合、具体的にどの様な擾動を元にすれば(A)(ii)が満たされるか。ピニカの素子に並列あるいは直列に素子を加える様な方法が望ましい。

2.  $\mathbb{P}$  の  $\pi^*G$  に関する gradient はある様なダイナミクスの一般的性質はどうの様なものか。

3. 最近の回路網の多くは(例えはIC)はインダクタレスであるが相反するものと限らない。可逆的  $\pi^*G$  はRiemannian であるが必ず closed であるとは限らない。この事は何かを明らかにするのに役立つか。

4. 電気回路網は種々のパラメータ変動に対して sensitive であるから構造安定等の性質は重要である。回路網に適用可能な結果は存在するか。

5. §1 - §6 の議論はひとつ工学的困難がある。それは抵抗の(a)を  $\text{---} \oplus \ominus \text{---}$ ,  $\text{---} \rightarrow \text{---}$  といふシンボルをもった素子の扱いである。これらは普通独立電源と呼ばれていて、バッテリ等がこれに入る。一般にこれらの素子の電圧あるいは電流は時間の関数として前もって与えられてゐる。例えば関東地方の電燈線の電圧は  $v_e(t) = 100\sqrt{2} \sin 100\pi t$  である。

従って回路網のベクトル場は一般に time dependent である。  
読者は別に大した問題ではないと思われるかも知れぬが、  
私は少し違った風に考へてゐる。回路網のタイナミクスは  
一般に

$$\frac{dx}{dt} = f(x, u(t))$$

と書けるが、右辺の  $u(t)$  への依存性を何らかの形で explicit  
に表現したい。時間  $t$  を新しい変数としたベクトル場を考え  
る以外に方法はないだろうか。

6. 電気回路網の state space  $\Sigma$  自身はコンパクトではなく  
むしろ見た様に多くの回路網は実質変動である。もう少し  
詳しく調べれば state space  $\Sigma' \subset \Sigma$  がコンパクトになる  
様なことはも知れぬ。

### 文献

- [1] G. Ohm, Die Galvanische Kette, Berlin, (1827)
- [2] G. Kirchhoff, Über den Durchgang eines  
electrischen Stromes durch eine Ebene,  
insbesondere durch eine kreisförmige, Pogg., Ann.  
64, 4 Stücke, Nr. 4 (1845)
- [3] R. Brayton and J. Moser, A theory of nonlinear  
networks, Quart. Appl. Math., 22, 1-33, 81-104  
(1964)

- [4] S. Smale, On the mathematical foundations of electrical circuit theory, *J. Differential Geometry*, 7, 193-210 (1972)
- [5] J. Bowers and S. Sedore, SCEPTE: A computer program for circuits and systems analysis, Prentice-Hall, (1971)
- [6] R. Rohrer, Circuit Theory, McGraw-Hill (1970)
- [7] J. Ebers and J. Moll, Large signal behavior of junction transistors, *Proc. IEEE*, 42, 1761-1772 (1954)
- [8] S. Stern, Nonlinear networks and systems, Addison-Wesley, (1966)
- [9] R. Brayton, Nonlinear reciprocal networks, *SIAM-AMS Proceedings*, III, 1-15, (1971)
- [10] (1) 上, よる電気回路の力学系, 1974.
- [11] 松本, 非線形回路網のダイナミクスの性質について, 電子通信学会論文集, to appear
- [12] \_\_\_\_\_, 非線形回路網のダイナミクスの定性的考察, ibid, to appear.
- [13] \_\_\_\_\_, 非線形回路網に付けるエナルギー関数について, ibid, to appear.
- [14] \_\_\_\_\_, On the dynamics of electrical networks,

J. Differential Equations, to appear

[15] \_\_\_\_\_, Dynamical systems arising from electrical networks, Proc. Int. Symp. Dynamical Systems at Providence, Academic Press, to appear

[16] \_\_\_\_\_, On a class of nonlinear networks, Int. J. Circuit Theory and Applications, to appear

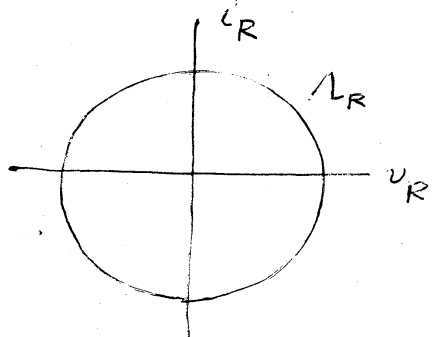
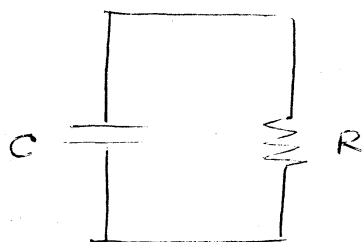
[17] \_\_\_\_\_, On several geometric aspects of nonlinear networks, J. Franklin Institute - Proc. IEEE Joint Special Issue on Systems Theory, to appear.

[18] 近藤, 石塚, 大島, 藤中, 工学力学系, 岩波, (1957)

(注) [18]は電気回路網をはじめとしていくつもの工学系を Riemann 空間内の Lagrange 力学系としてとらえた unique の仕事である。

### 後記

§4 [E] で  $\Sigma$  の单連結性がない場合について上博 が次の example を与えた。



キャラクタは線形である。明らかに  $\Sigma$  と  $\Lambda_R$  は同じものである。 $\Sigma = S^1$  は 1 次元多様だから、 $\mathbb{Z}^*(V_R \text{ dim})$  は常に closed である。従って上の回路は相反である。 $\Sigma$  上のベクトル場から生成されるフローは  $\Sigma$  上を回るだろ？ といふのが上氏の予想である。 $\Pi$  が singular になるとそれがでてくるのでそれを上手く処理する必要があると思う。

最後に極めて興味深い御討論をいただいて多くの方々に感謝する。